

проверка теории невозможна из-за большой величины шума на спектрограмме.

Отметим в заключение, что, согласно (3) и (4),  $\text{Im}\Delta(0)$  есть нечетная функция  $\Delta J$ . Перемена знака  $\gamma$  при переходе из  $S$ -ветви в  $O$ -ветвь, как следует из (8), должна приводить к зеркальному отражению линии относительно точки  $\Delta\phi=0$ . К сожалению, отсутствие данных по  $O_1$ -линиям не позволяет в настоящее время проверить этот вывод.

### Литература

- [1] P. W. Anderson. Phys. Rev., 76, 647, 1949.
- [2] M. Baranger. Phys. Rev., 111, 494, 1958; 112, 855, 1958.
- [3] Y. Le Duff, W. Holzer, R. Ouillon. Adv. Raman Spectr., 1, 423, 1972.
- [4] Н. Д. Орлова, Л. А. Позднякова, Э. Б. Ходос. Опт. и спектр., 37, 602, 1974.
- [5] U. Fano. Phys. Rev., 131, 259, 1963.
- [6] W. M. Madigosky, T. A. Litovitz. J. Chem. Phys., 34, 489, 1961.
- [7] A. Ben-Reuven. Phys. Rev., 141, 34, 1966.
- [8] R. J. Leroy, J. Van Kranendonk. J. Chem. Phys., 61, 4750, 1974.
- [9] P. J. Leonard, D. Henderson, J. A. Barker. Mol. Phys., 21, 107, 1971.
- [10] Дж. Гиршфельдер, Ч. Кертисс, Р. Берд. Молекулярная теория жидкостей и газов. ИЛ, М., 1961.
- [11] М. В. Тонков. В сб.: Спектроскопия взаимодействующих молекул. ЛГУ, 1970.
- [12] Н. Д. Орлова, Л. А. Позднякова. Опт. и спектр., 48, 1086, 1980.

Поступило в Редакцию 20 декабря 1979 г.

УДК 539.186.2 : 546.659

## ВОЗБУЖДЕНИЕ ЭЛЕКТРОННЫМ УДАРОМ АТОМОВ САМАРИЯ

A. A. Митюрева

Самарий — редкоземельный элемент с почти наполовину заполненной  $f$ -оболочкой. Основному состоянию его соответствует терм  $^7F$  электронной конфигурации  $4f^66s^2$ . Электронным ударом наиболее легко заселяются уровни  $4f^66s6p$  и  $4f^55d6s^2$  конфигураций. Спектральные линии, возникающие между уровнями этих состояний и основным состоянием, являются самыми сильными в богатом спектре самария и соответственно делятся на линии «простого» ( $4f^66s^2 - 4f^66s6p$ ) и «сложного» ( $4f^66s^2 - 4f^55d6s^2$ ) спектров [1].

Мы измерили относительные величины сечений и функции электронного возбуждения 18 наиболее интенсивных из этих линий. Измерения проводились методом Ганле с фотоэлектрической регистрацией спектральных линий, описанным ранее в [2]. Конструкция трубки возбуждения аналогична использованной в работе [3].

Монокинетичность пучка возбуждающих электронов составляла 1.5 эВ для 90% всех электронов. Энергетический диапазон пучка — 0–300 эВ. Ток электронов на коллектор достигал 100 мА. Рабочий диапазон плотностей электронов в пучке и атомов выбирался, исходя из условия однократности их столкновений. В этих условиях можно было пренебречь влиянием эффекта пленения излучения [3].

В результате проведенных измерений интенсивности спектральных линий самария были получены данные для относительных величин их сечений возбуждения, представленные в таблице. Значения эти получены при энергиях электронов 25 эВ. Сечения измеренных линий «простого»

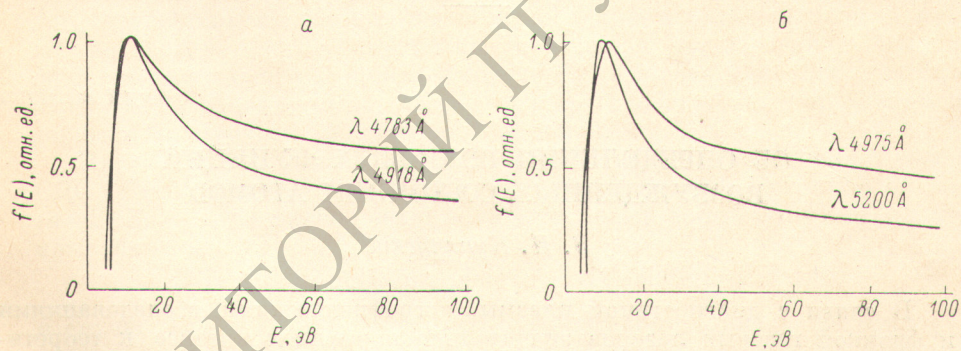
Относительные величины сечений возбуждения линий атома самария

$\lambda, \text{ \AA}$	Переход	$q_{\text{отн.}} (E = 25 \text{ эВ})$
5659	$^7F_2 - 4f^55d6s^2 \ ^7F_1$	0.26
5626	$^7F_0 - 4f^66s6p \ ^7F_1$	0.51
5405	$^7F_1 - 4f^55d6s^2 \ ^7F_2$	
5403	$^7F_3 - 4f^55d6s^2 \ ^7H_4$	
5271	$^7F_2 - 4f^55d6s^2 \ ^7G_3$	0.64
5200	$^7F_3 - 4f^55d6s^2 \ ^7G_4$	0.77
4975	$^7F_0 - 4f^55d6s^2 \ ^5F_1$	0.72
4918	$^7F_3 - 4f^66s6p \ ^7D_2$	0.49
4910	$^7F_4 - 4f^66s6p \ ^7D_3$	0.58
4883	$^7F_1 - 4f^55d6s^2 \ ^5F_2$	0.49
4783 *	$^7F_1 - 4f^66s6p \ ^7D_1$	0.65
4760	$^7F_2 - 4f^66s6p \ ^7D_2$	1.00
4717	$^7F_0 - 4f^66s6p \ ^7D_1$	0.80
4670	$^7F_3 - 4f^55d6s^2 \ ^5F_4$	0.50
4645 *	$^7F_1 - 4f^66s6p \ ^7D_2$	0.17
4596	$^7F_1 - 4f^66s6p \ ^7F_0$	0.59
4503	$^7F_1 - 4f^66s6p \ ^5G_2$	0.31
4419	$^7F_1 - 4f^66s6p \ ^7G_1$	0.31
4362	$^7F_0 - 4f^66s6p \ ^7G_1$	0.42
		0.32

\* Имеет место наложение соседних линий (в установке можно было разрешить линии, отстоящие друг от друга на  $6 \text{ \AA}$ ).

и «сложного» спектров характеризуются одним порядком величины. Не заметно различий и в величине сечений возбуждения уровней разной мультиплетности.

Измеренные функции возбуждения спектральных линий самария имеют следующий вид (см. рисунок): функция возбуждения резко возрастает



Функции возбуждения атомных линий самария.

а — линии «простого» спектра:  $\lambda 4783 \text{ \AA}$  ( $4f^66s^2 F_1 - 4f^66s6p^2 D_1$ ) и  $\lambda 4918 \text{ \AA}$  ( $4f^66s^2 F_3 - 4f^66s6p^2 D_2$ ), б — линии «сложного» спектра:  $\lambda 4975 \text{ \AA}$  ( $4f^66s^2 F_0 - 4f^55d6s^2 F_1$ ) и  $\lambda 5200 \text{ \AA}$  ( $4f^66s^2 F_3 - 4f^55d6s^2 G_4$ ).

за порогом, достигает максимального значения при энергии электронов  $10-14 \text{ эВ}$ , затем следует быстрый спад ее, и при энергии  $100-300 \text{ эВ}$   $f(E)$  изменяется слабо [вследствие малого изменения  $f(E)$  при больших энергиях электронов кривые на рисунке представлены только до  $100 \text{ эВ}$ ].

Такое поведение функций возбуждения характерно для линий и «простого» и «сложного» спектров. Примеры  $f(E)$ , приведенные на рисунке иллюстрируют необычное сходство функций возбуждения линий, возникших при возбуждении электрона из  $f$ -оболочки ( $4f^66s^2 - 4f^55d6s^2$ ) и при возбуждении внешнего  $s$ -электрона ( $4f^66s^2 - 4f^66s6p$ ). Для двух других исследованных редкоземельных элементов — европия и иттербия — в работе [4] получено существенное различие в виде функций возбуждения линий, отвечающих разным типам переходов.

Причина сходного поведения  $f(E)$  атомных линий самария связана, возможно, с величиной заполнения внутренней  $f$ -оболочки. В механизме возбуждения уровней самария проявляется конкуренция трех электронных оболочек:  $s$ -,  $p$ -,  $d$ -, что приводит к «смазыванию» особенностей на его функциях возбуждения.

Следует добавить, что отсутствие различий в виде  $f(E)$  самария едва ли может объясняться каскадными переходами, так как линии видимой области спектра, оканчивающиеся на исследованных уровнях, в эксперименте не зарегистрированы вследствие их низкой интенсивности, а интенсивность соответствующих инфракрасных линий также мала [3].

Для нескольких из исследованных нами линий самария имеются данные по сечениям возбуждения в [4]. При учете погрешностей измерений величины сечений, полученные в обеих работах, согласуются между собой. Исключение составляет одна линия  $\lambda = 4419 \text{ \AA}$ , для которой сечения различаются более, чем в 2 раза.

В заключение хочу выразить глубокую благодарность Н. П. Пенкину за постоянный интерес к работе и полезные замечания и А. Рубашкину за помощь при проведении эксперимента.

### Литература

- [1] М. А. Ельяшевич. Спектры редких земель. Гостехиздат, М., 1952.
- [2] Н. П. Пенкин, А. А. Митюрева, Е. Р. Жежерина. Опт. и спектр., 33, 1028, 1972.
- [3] К. Б. Благоев, В. А. Комаровский, Н. П. Пенкин. Опт. и спектр., 42, 424, 1977.
- [4] Л. Л. Шимон. В сб.: Достижения спектроскопии. (XVIII съезд по спектроскопии, июнь 1977 г.) ч. 1, 98, М., 1978.

Поступило в Редакцию 20 декабря 1979 г.

УДК 539.184.01

## ОБ ОПРЕДЕЛЕНИИ ВОЛНОВЫХ ФУНКЦИЙ ВОЗБУЖДЕННЫХ СОСТОЯНИЙ АТОМОВ

З. И. Купляускис

В связи с диагностикой плазмы, астрофизическими исследованиями и физикой газовых лазеров значительно повысился интерес к теоретическим значениям вероятностей и эффективных сечений возбуждения атомов. Поэтому возникла необходимость в определении волновых функций возбужденных состояний. Вариационные методы, используемые для этой цели, дают значительно расходящиеся результаты при расчете одного и того же состояния [1]. Ввиду того что некоторые из этих методов вообще непригодны для изучения возбужденных состояний определенного типа, в нашей работе приведена классификация возбужденных состояний, указаны методы, пригодные для расчета состояний каждого типа и проведен расчет трехэлектронных атомов Li, Be<sup>+</sup> и B<sup>2+</sup> в состоянии  $1s2s^2 2S$ .

При теоретическом определении волновых функций возбужденных состояний атомов за основу классификации удобно принять число нижележащих состояний данной симметрии (СДС). Состояния, характеризуемые таким же распределением электронов по группам оболочек с одинаковыми квантовыми числами  $l$  и такими же значениями  $L$  и  $S$ , будем называть СДС.

Все энергетические состояния атома или иона удобно разбить на следующие четыре группы.